

**Politechnika
Warszawska**

Zakład Podstaw Konstrukcji

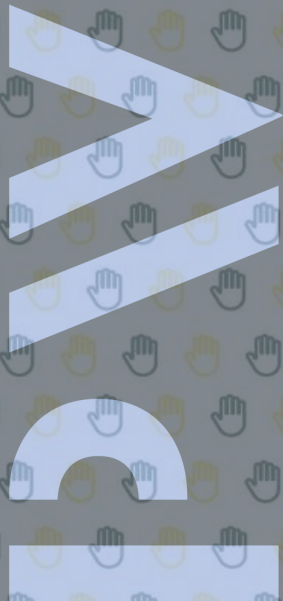
Projektowanie

mgr inż. Grzegorz Kamiński

grzegorz.kaminski@pw.edu.pl

18 kwietnia 2023

Wersja 1.22



Wprowadzenie

Wałem lub osią nazywamy element maszyny ujęty w łożyskach i służący do podtrzymania innych elementów maszyny, wykonujących ruchy obrotowe lub wahadłowe. **Wały** służą do przenoszenia momentu obrotowego. Dodatkowo mogą być one obciążone momentem zginającym i siłą wzdłużną. Rozróżnia się wały dwu- i wielopodporowe, sztywne, półsztywne i giętkie.

Osie to elementy, które nie przenoszą momentu obrotowego, a są obciążone momentem gnącym. Mogą być one ruchome (mają wówczas kształt podobny do wału) lub nieruchome. Krótkie osie nazywa się **sworzniami**.

Dobór materiału

S275JR i E295 — wały maszynowe, korbowe i osie poddane słabym obciążeniom.

C35, C45 i C55 — wały poddane większemu obciążeniu i temperaturze (do 500°C)

34CrMo4, 42CrMo4, 41Cr4 — wały, na które działają silne obciążenia zmienne i uderowe

15Cr2, 18CrMo4 — wały maszyn pracujących z dużymi obciążeniami zmiennymi i wysokimi obrotami.

Obliczenia wytrzymałościowe

Przystępując do projektowania, należy dokładnie ustalić obciążenie zewnętrzne zarówno pod względem ilościowym, jak i jakościowym. Trzeba przy tym wyraźnie wyróżnić zmiany wartości obciążenia zachodzące w czasie pracy i jego kierunek.

Jednowymiarowy stan naprężenia

Obciążenie jedynie momentem
gnącym:

$$\sigma_g = \frac{M_g}{W_x} \leq k_{go}$$

po uwzględnieniu: $W_x = \frac{\pi \cdot d^3}{32}$

sprawdzany warunek:

$$d \geq \sqrt[3]{\frac{32 \cdot M_g}{\pi \cdot k_{go}}}$$

Obciążenie jedynie momentem
skręcającym:

$$\tau_s = \frac{M_s}{W_o} \leq k_{sj}$$

po uwzględnieniu: $W_o = \frac{\pi \cdot d^3}{16}$

sprawdzany warunek:

$$d \geq \sqrt[3]{\frac{16 \cdot M_s}{\pi \cdot k_{sj}}}$$

Wielowymiarowy stan naprężeń

Zastępcze wartości naprężeń w przypadku przewagi naprężeń normalnych:

$$\sigma_z = \sqrt{\sigma^2 + (\alpha \cdot \tau)^2}$$

a w przypadku przewagi naprężeń stycznych

$$\tau_z = \sqrt{\left(\frac{1}{\alpha} \cdot \sigma\right)^2 + \tau^2}$$

Współczynnik redukujący naprężenia

Współczynnik α oblicza się z proporcji naprężeń dopuszczalnych.
Dla tego samego rodzaju cyklu:

$$\alpha = \frac{k_g}{k_s} = \frac{k_{gj}}{k_{sj}} = \frac{k_{go}}{k_{so}} \approx \sqrt{3}$$

dla obrotowego zginania i odzerowo-tętniącego skręcania:

$$\alpha = \frac{k_{gj} \cdot k_{go}}{k_{sj} \cdot k_{gj}} = \frac{k_{go}}{k_{sj}} \approx \frac{\sqrt{3}}{2}$$

Warunki wytrzymałościowe dla wielowymiarowego stanu naprężeń

$$\text{Gdy } M_g \geq 2 \cdot M_s$$

$$\sigma_z = \frac{\sqrt{M_g^2 + (\frac{\alpha}{2} \cdot M_s)^2}}{W_x} \leq k_{go}$$

po uwzględnieniu:

$$M_z = \sqrt{M_g^2 + (\frac{\alpha}{2} \cdot M_s)^2}$$

sprawdzany warunek:

$$d \geq \sqrt[3]{\frac{32 \cdot M_z}{\pi \cdot k_{go}}}$$

$$\text{Gdy } M_g < 2 \cdot M_s$$

$$\tau_z = \frac{\sqrt{(\frac{2}{\alpha} \cdot M_g)^2 + M_s^2}}{W_o} \leq k_{sj}$$

po uwzględnieniu:

$$M_z = \sqrt{(\frac{2}{\alpha} \cdot M_g)^2 + M_s^2}$$

sprawdzany warunek:

$$d \geq \sqrt[3]{\frac{16 \cdot M_z}{\pi \cdot k_{sj}}}$$

Warunki wytrzymałościowe dla wielowymiarowego stanu naprężeń

Jeżeli naprężenia ściskające (lub rozciągające) są na tyle duże to

$$\sigma_z = \sqrt{(\sigma_g + \sigma_r)^2 + (\alpha \cdot \tau_s)^2} = \sqrt{\left(\frac{M_g}{W_x} + n \cdot \frac{P}{F}\right)^2 + \left(\alpha \cdot \frac{M_s}{W_o}\right)^2}$$

Gdzie:

- * P — siła ściskająca wał;
- * F — przekrój poprzeczny wału;
- * n — dla obustronnego zginania i odzerowo-tętniącego rozciągania $n = 0,5$, w przypadku odwrotnym $n = 2$. Jeżeli obliczenia są dokładne, to wartość n należy pomnożyć przez $\frac{k_g}{k_r} = 1,1 \div 1,3$.

Obliczenia dwupodporowych wałów prostych

- * Metoda analityczna;
- * Metoda analityczno-wykreślna;
- * Metoda wykreślna.

Metoda analityczna

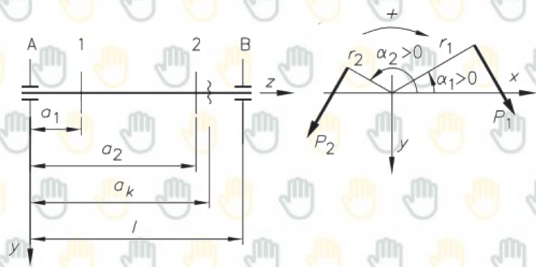
Równanie momentów obrotowych:

$$\sum r_i \cdot P_i = r_1 \cdot P_1 - r_2 \cdot P_2 = 0$$

rzuty sił na kierunki:

$$P_{ix} = P_i \cdot \sin(\alpha_i)$$

$$P_{iy} = P_i \cdot \cos(\alpha_i)$$



Metoda analityczna

Równanie równowagi:

$$R_{Bx} = -\frac{1}{l} \cdot \sum a_i \cdot P_{ix}$$

$$R_{By} = -\frac{1}{l} \cdot \sum a_i \cdot P_{iy}$$

$$R_{Ax} = -R_{Bx} - \sum P_{ix}$$

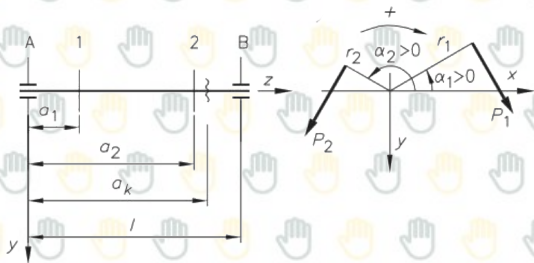
$$R_{Ay} = -R_{By} - \sum P_{iy}$$

$$M_{gxk} = -a_k \cdot R_{Ax} - \sum (a_k - a_i) \cdot P_{ix}$$

$$M_{gyk} = -a_k \cdot R_{Ay} - \sum (a_k - a_i) \cdot P_{iy}$$

Wypadkowe momenty zginające w obliczanym przekroju wynoszą:

$$M_{gk} = \sqrt{M_{gxk}^2 + M_{gyk}^2}$$

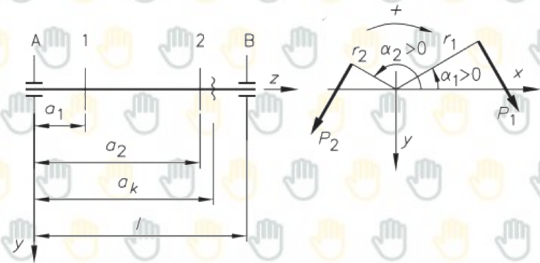


Metoda analityczna

Moment skręcający:

$$M_{sk} = \sum r_i \cdot P_i$$

Wyznaczenie momentu zastępczego
oraz średnic wału

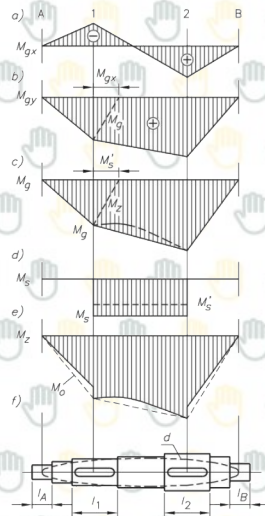


Metoda analityczno-wykreślna

Reakcje podpór i momenty zginające w poszczególnych płaszczyznach są obliczane analitycznie, natomiast sumowanie momentów wykonuje się wykreślnie. Wykresy M_{gx} i M_{gy} buduje się na podstawie obliczeń i sumuje je geometrycznie dzięki wprowadzeniu skali $\kappa_M \text{ N}\backslash\text{mm}$.

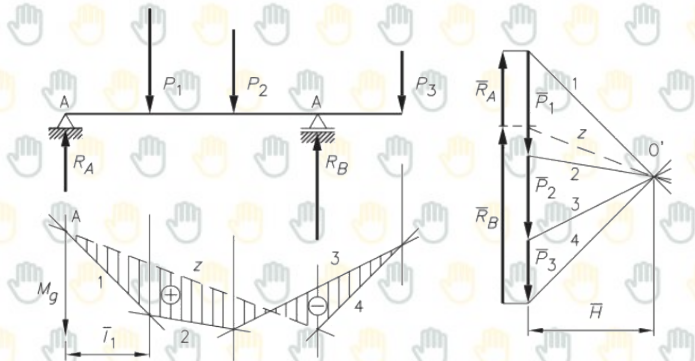
Metoda analityczno-wykreślna

- * geometryczne złożenie M_{gx} i M_{gy} do M_g ,
- * geometryczne złożenie M_g i M_s do M_z ,
- * uproszczenie wykresu do M_o — wyznaczenie średnic,
- * wyznaczenie długości czopów i budowa zarysu rzeczywistego wałka.



Metoda wykreślna

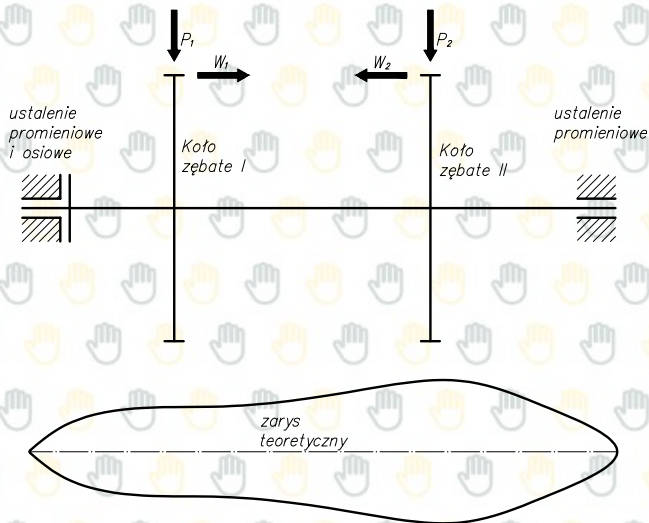
Zamiast rachunkowego wyznaczania reakcji podpór oraz momentów M_{gx} i M_{gy} stosuje się wykreślne wyznaczanie tych wielkości za pomocą wieloboków sił i wieloboków sznurowych.



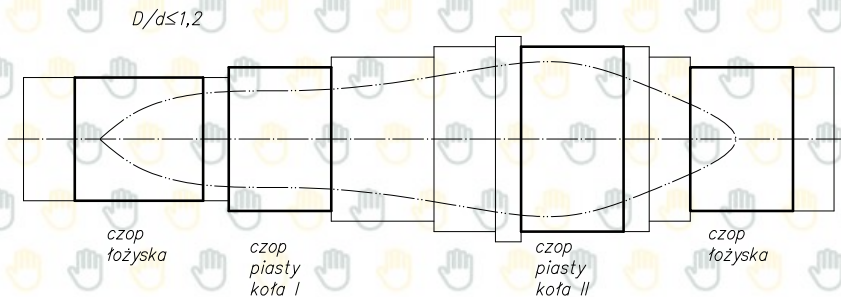
Kształtowanie wałów

- * na podstawie danych funkcjonalnych i wstępnych wymiarów kształtuje się czopy łożyskowe, czopy końcowe, powierzchnie bazowe i oporowe kół, łożysk itp., a następnie kształtuje się powierzchnie swobodne wału,
- * pamiętać o sprzężeniu zwrotnym od pozostałych elementów węzła konstrukcyjnego,
- * zwrócić uwagę na wytrzymałość zmęczeniową.

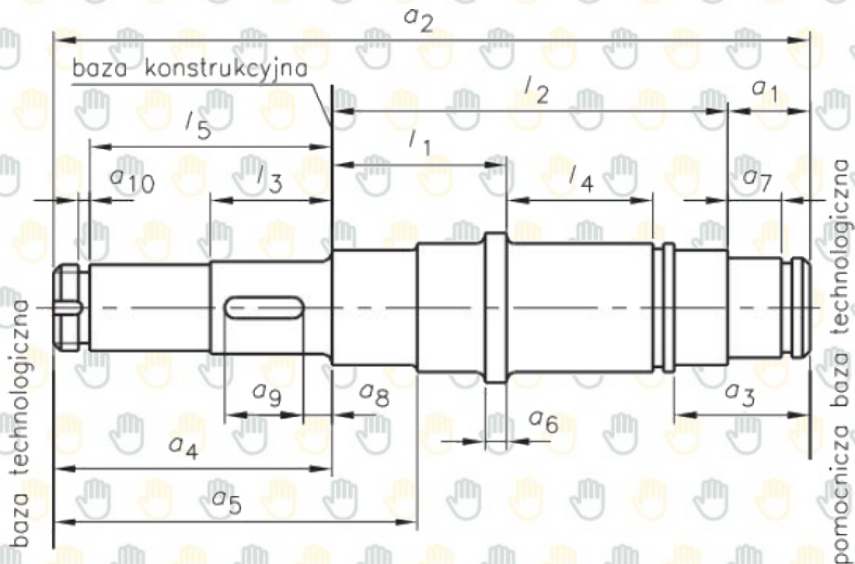
Etapy kształtowania wałka



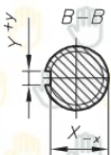
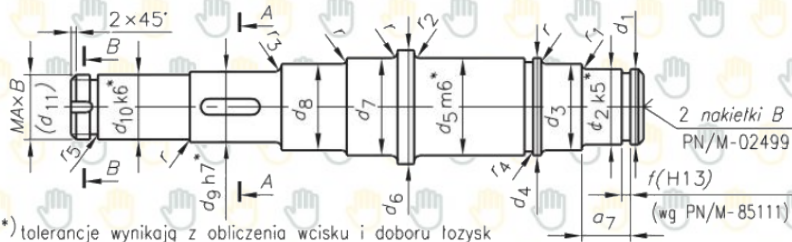
Etapy kształtowania wałka



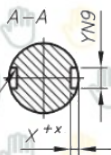
Etapy kształtowania wałka



Etapy kształtowania wałka



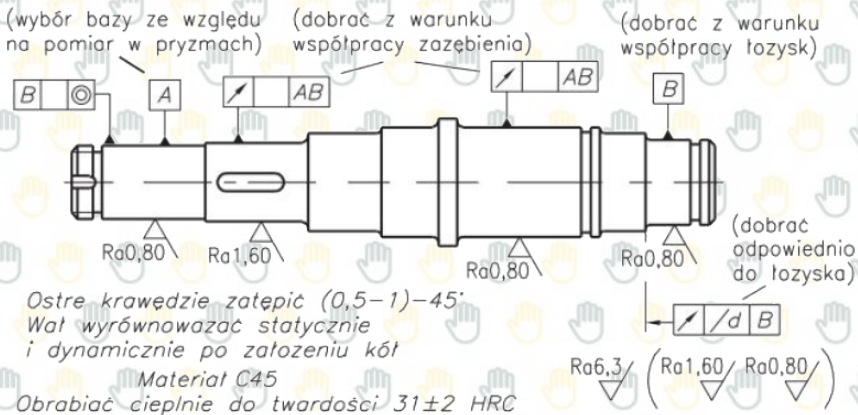
tolerancje jak
dla klinów



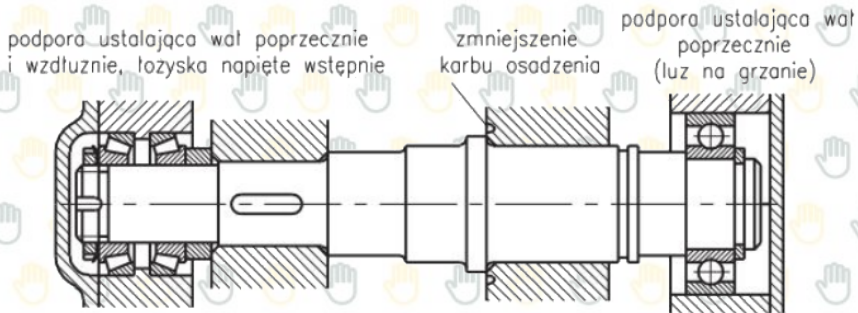
wymiary wg
PN/M-85005

$$\begin{aligned}
 r_1, r_2, r_3 &< R \text{ łożyska lub piasty} \\
 r_4 &< 0,1d_5 & r_5 &\text{wg PN/M-82063} \\
 r_6 &< \text{od fazy wpustu} \\
 d_4 &= d_5 - 0,2 & d_{11} &= d_{10} - 0,1 \\
 \frac{d_8}{d_9} &= \frac{d_7}{d_8} = \frac{d_6}{d_7} & \frac{d_5}{d_3} &= \frac{d_3}{d_2} & r &> \frac{d_7}{d_8}
 \end{aligned}$$

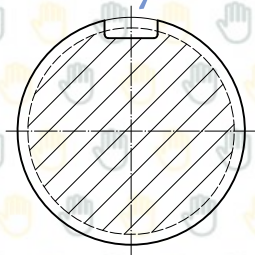
Etapy kształtowania wałka



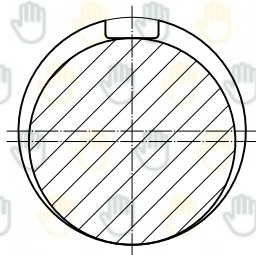
Etapy kształtowania wałka



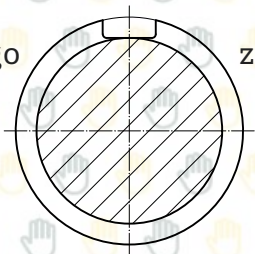
Uwzględnianie rowków wpustowych w średnicy teoretycznej



zbliżony do statycznego
cykl obciążenia



zmienny cykl obciążenia,
 M_s jest niewielki

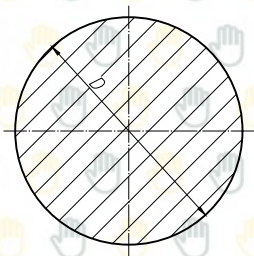


zmienny cykl obciążenia, M_s jest duży

Wskaźniki na zginanie i skręcanie

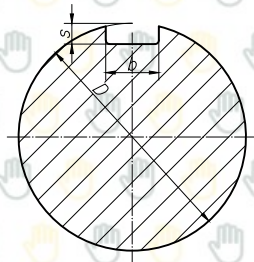
$$W_x = \frac{\pi \cdot D^3}{32},$$

$$W_o = \frac{\pi \cdot D^3}{16}$$



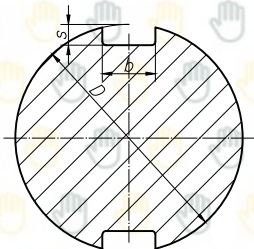
$$W_x = \frac{\pi \cdot D^3}{32} - \frac{b \cdot s \cdot (2D - s)^2}{16 \cdot D},$$

$$W_o = \frac{\pi \cdot D^3}{16} - \frac{b \cdot s \cdot (2D - s)^2}{16 \cdot D}$$



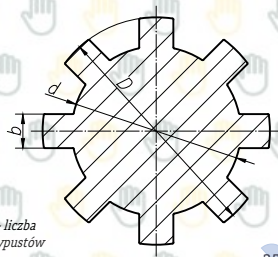
$$W_x = \frac{\pi \cdot D^3}{32} - \frac{b \cdot s \cdot (2D - s)^2}{8 \cdot D},$$

$$W_o = \frac{\pi \cdot D^3}{16} - \frac{b \cdot s \cdot (2D - s)^2}{8 \cdot D}$$



$$W_x = \frac{\pi \cdot D^4 - n \cdot b \cdot (D - d) \cdot (D + d)^2}{32 \cdot D},$$

$$W_o = \frac{\pi \cdot D^4 - n \cdot b \cdot (D - d) \cdot (D + d)^2}{16 \cdot D}$$



Sprawdzanie ugięcia i skręcenia

Obliczanie strzałek i kątów ugięcia metodą analityczną (tzn. przez napisanie równania osi ugiętej) w przypadku projektowania wałów maszynowych **nie ma** większego zastosowania.

Stosuje się:

- * superpozycję ugięcia przypadków elementarnych,
- * metodę Mohra.

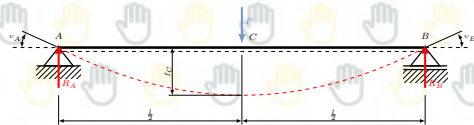
Ugięcie dla przypadków elementarnych

$$R_A = R_B = \frac{P}{2}$$

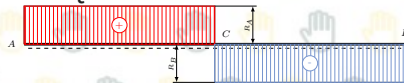
$$M_{max} = \frac{P \cdot l}{4} \text{ dla } x = \frac{l}{2}$$

$$f_{max} = f_C = \frac{P \cdot l^3}{48 \cdot E \cdot J}$$

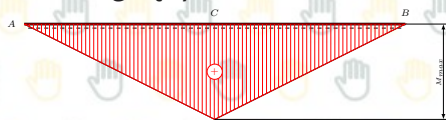
$$v_A = -v_B = -\frac{P \cdot l^2}{16 \cdot E \cdot J}$$



Siła tnąca:



Moment gnący:



Ugięcie dla przypadków elementarnych

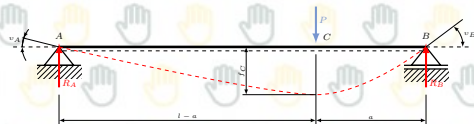
$$R_A = P \cdot \frac{a}{l}, \quad R_B = P \cdot \frac{l-a}{l},$$

$$M_{max} = P \cdot \frac{a \cdot (l-a)}{l} \quad \text{dla } x = l - a,$$

$$v_A = -\frac{P \cdot a \cdot (l^2 - a^2)}{6 \cdot l \cdot E \cdot J}, \quad v_B = -\frac{P \cdot a \cdot (l-a) \cdot (2 \cdot l - a)}{6 \cdot l \cdot E \cdot J},$$

$$f_C = \frac{P \cdot a^2 \cdot (l-a)^2}{3 \cdot l \cdot E \cdot J} \quad \text{dla } x \leq \frac{1}{2}l,$$

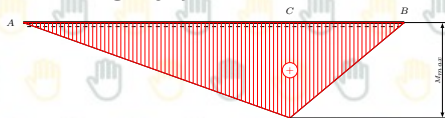
$$f_{max} = \frac{P \cdot a}{3 \cdot l \cdot E \cdot J} \cdot \left(\frac{l^2 - a^2}{3} \right)^{\frac{3}{2}} \quad \text{dla } x = \sqrt{\frac{1}{3} \cdot (l^2 - a^2)}$$



Siła tnąca:



Moment gnący:



Ugięcie dla przypadków elementarnych

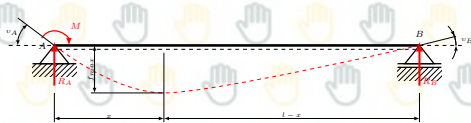
$$R_A = -R_B = -\frac{M}{l},$$

$$M_{max} = M \text{ dla } x = 0,$$

$$v_A = -\frac{M \cdot l}{3 \cdot E \cdot J}, \quad v_B = \frac{M \cdot l}{6 \cdot E \cdot J},$$

$$f = \frac{M \cdot l^2}{16 \cdot E \cdot J} \text{ dla } x = \frac{1}{2}l$$

$$f_{max} = \frac{M \cdot l^2}{9 \sqrt{3} \cdot E \cdot J} \text{ dla } x = l \cdot \frac{3 - \sqrt{3}}{3}$$



Siła tnąca:



Moment gnący:



Ugięcie dla przypadków elementarnych

$$R_A = R_B = \frac{M}{l},$$

$$M_{max} = M \cdot \frac{l-a}{l} \text{ dla } a \leq \frac{1}{2}l,$$

$$v_A = \frac{M}{6 \cdot l} \cdot (2l^2 - 6la + 3a^2),$$

$$v_B = -\frac{M}{6 \cdot l} \cdot (l^2 - 3a^2),$$

$$f_C = \frac{M \cdot a}{3 \cdot l} \cdot (l^2 - 3la + 2a^2)$$



Siła tnąca:



Moment gnący:



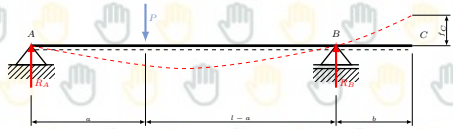
Ugięcie dla przypadków elementarnych

$$v_C = v_B = \frac{P \cdot a \cdot (l^2 - a^2)}{6 \cdot l \cdot E \cdot J},$$

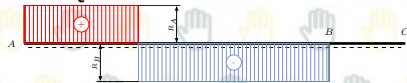
$$f_C = v_B \cdot b = \frac{P \cdot a \cdot b \cdot (l^2 - a^2)}{6 \cdot l \cdot E \cdot J},$$

$$v_B = v_C = \frac{P \cdot l^2}{16 \cdot E \cdot J} \text{ dla } a = \frac{1}{2}l,$$

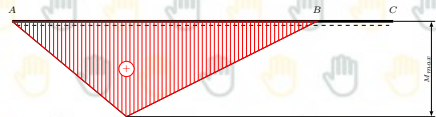
$$f_C = \frac{P \cdot l^2 \cdot b}{16 \cdot E \cdot J} \text{ dla } a = \frac{1}{2}l$$



Siła tnąca:



Moment gnący:



Ugięcie dla przypadków elementarnych

$$R_A = P \cdot \frac{a}{l}, \quad R_B = P \cdot \frac{l+a}{l},$$

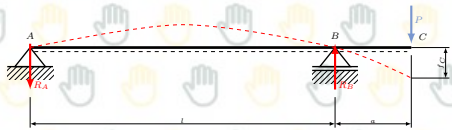
$$M_{max} = P \cdot l \text{ dla } x = l,$$

$$v_A = \frac{P \cdot l \cdot a}{6 \cdot E \cdot J}, \quad v_B = -\frac{P \cdot l \cdot a}{3 \cdot E \cdot J},$$

$$v_C = -\frac{P \cdot a}{6 \cdot E \cdot J} \cdot (2l + 3a),$$

$$f_C = \frac{P \cdot a^2}{3 \cdot E \cdot J} \cdot (l + a),$$

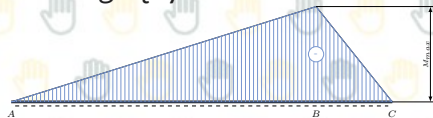
$$f_{max} = -\frac{P \cdot l^2 \cdot a}{9\sqrt{3} \cdot E \cdot J} \text{ dla } x = \frac{l}{\sqrt{3}}$$



Siła tnąca:



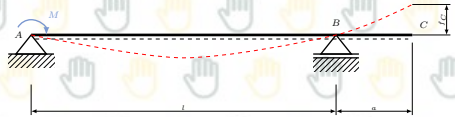
Moment gnący:



Ugięcie dla przypadków elementarnych

$$v_B = v_C = \frac{M \cdot l}{6 \cdot E \cdot J},$$

$$f_C = v_C \cdot a = \frac{M \cdot l \cdot a}{6 \cdot E \cdot J}$$



Ugięcie dla przypadków elementarnych

$$R_A = R_B = \frac{M}{l},$$

$$M_{max} = M,$$

$$v_A = -\frac{M \cdot l}{6 \cdot E \cdot J}, \quad v_B = \frac{M \cdot l}{3 \cdot E \cdot J},$$

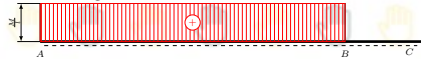
$$v_C = \frac{M}{3 \cdot E \cdot J} \cdot (l + 3a),$$

$$f_C = -\frac{M \cdot a}{6 \cdot E \cdot J} \cdot (2l + 3a),$$

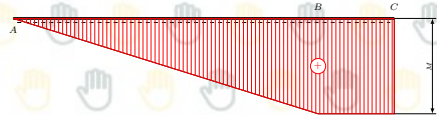
$$f_{max} = -\frac{M \cdot l^2}{9 \sqrt{3} \cdot E \cdot J} \text{ dla } x = \frac{l}{\sqrt{3}}$$



Siła tnąca:



Moment gnący:



Metoda Mohra

- * wykres momentów gnących traktuje się formalnie jako obciążenie ciągłe nazwane obciążeniem fikcyjnym $q^*(z)$ dla nowej belki,
- * wyznaczenie wykresów siły tnącej $T^*(z)$ i momentów gnących $M_g^*(z)$,
- * wyznaczenie strzałki i kątów ugięcia.

$$f = \frac{M_g^*}{E \cdot J} \quad v = \frac{T_g^*}{E \cdot J}$$

Tworzenie belki fikcyjnej

<i>Układ rzeczywisty</i>	<i>Szkic</i>	<i>Układ fikcyjny</i>	<i>Szkic</i>
<i>Koniec swobodny</i>		<i>Utwierdzenie</i>	
<i>Utwierdzenie</i>		<i>Koniec swobodny</i>	
<i>Podpora przegubowa pośrednia</i>		<i>Przegub</i>	
<i>Przegub</i>		<i>Podpora przegubowa pośrednia</i>	
<i>Podpora przegubowa skrajna</i>		<i>Podpora przegubowa skrajna</i>	

Dyskretyzacja obciążenia ciągłego

Zastępowanie poszczególnych pól rzeczywistego wykresu momentów podzielonego przez J , wektorami o równej im wartości umieszczonymi w środkach ciężkości tych pól (S_i).

Pamiętać że należy:

- * przyjmować zawsze rzeczywiste maksymalne wartości momentów gnących, a nie momenty gnące zastępcze,
- * chcąc określić linię ugięcia z uwzględnieniem jej przestrzennego charakteru, należy dokonać obliczenia dla kierunku x i y osobno, a następnie złożyć w każdym przekroju oddzielnie.

Określenie ugięć dopuszczalnych

- * w budowie przekładni zębatych (przeważnie)
 $f_{dop} = 0,005 \div 0,001 \cdot m$, gdzie m oznacza moduł koła zębatego,
- * w budowie silników elektrycznych $f_{dop} < 0,001 \cdot \delta$, gdzie δ oznacza wielkość szczeliny między wirnikiem a stojanem,
- * dla wałów innych maszyn $f_{dop} = 2 \div 3 \cdot 10^{-4} \cdot l$, gdzie l oznacza rozstaw między łożyskami.

Dopuszczalne kąty ugięcia

Rodzaj łożysk	Dopuszczalny kąt ugięcia
Kulkowe wahliwe	0,07
Baryłkowe jednorzędowe	$0,035 \div 0,07$
Kulkowe zwykłe (pasowanie - K5/h6)	
a) luz poprzeczny normalny	0,0023
b) luz poprzeczny C3	0,0035
c) luz poprzeczny C4	0,0047
Waleczkowe i stożkowe	
a) łożyska waleczkowe typu N i NU serii 10, 2, 3, 4	0,00116
b) pozostałe	0,0058
Ślizgowe	
samonastawne	0,001
szttywne	0,0003

Obliczanie kątów skręcenia

Kąt skręcenia wału od znanego momentu skręcającego

$$\varphi = \frac{M_s \cdot l}{G \cdot J_o} [\text{rad}]$$

Do porównania używa się pojęcia jednostkowego kąta skręcenia

$$\varphi' = \frac{\varphi}{l} = \frac{M_s}{G \cdot J_o} [\text{rad/m}]$$

Wartości graniczne wynoszą:

- * dla obciążeń jednostronnie zmiennych $\varphi' = 0,004 [\text{rad/m}]$
- * obciążeń obustronnie zmiennych $\varphi' = 0,0025 [\text{rad/m}]$

Dla wałów o zmiennej sztywności sprawdza się warunek:

$$\varphi = M_s \cdot \sum_{i=1}^n \frac{l_i}{G \cdot J_{oi}} = \frac{M_s}{G} \sum_{i=1}^n \frac{l_i}{J_{oi}} \leq \varphi_{dop}$$

Zadanie 9.1

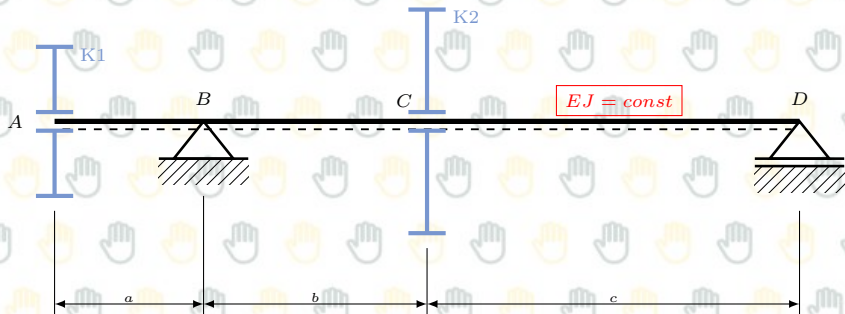
Obliczyć reakcje łożysk oraz średnicę gładkiej osi (belki) zginanej siłami:

$P_1 = 1000\text{ N}$, $P_2 = 4000\text{ N}$ przyłożonych do kół bosych K_1 i K_2 . Naprężenia

dopuszczalne materiału osi (stal C35) wynoszą $k_{go} = 64\text{ MPa}$, a

dopuszczalna strzałka ugięcia $f_{dop} = 0,0005 \cdot l$. Dane wymiary:

$a = 200\text{ mm}$, $b = 300\text{ mm}$, $c = 500\text{ mm}$, $l = b + c = 800\text{ mm}$.



Zadanie 9.1

Równania równowagi:

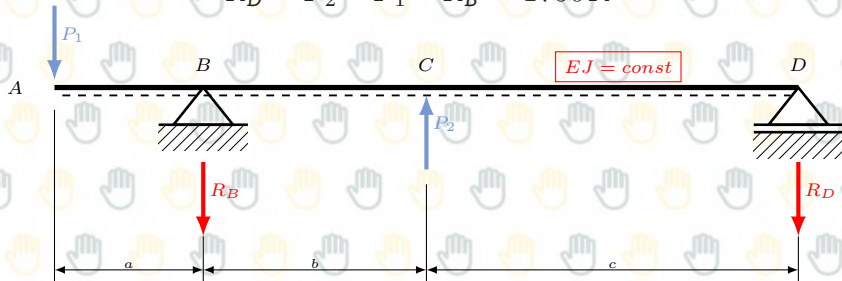
$$M_D : -P_1 \cdot (a + b + c) - R_B \cdot (b + c) + P_2 \cdot c = 0$$

$$\sum P_y : -P_1 - R_B + P_2 - R_D = 0$$

stąd

$$R_B = \frac{P_2 \cdot c - P_1 \cdot (a + b + c)}{(b + c)} = 1250 \text{ N}$$

$$R_D = P_2 - P_1 - R_B = 1750 \text{ N}$$

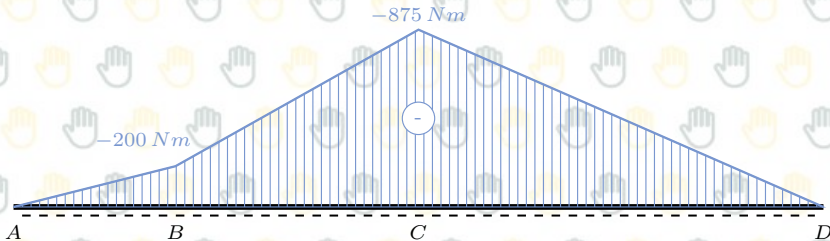


Zadanie 9.1

Momenty gnące wynoszą:

Przedział	Wzór	Wartość
$x = 0$		0 Nm
$x \in (0, a)$	$-P_1 \cdot x$	
$x = a$		-200 Nm
$x \in (a, a + b)$	$-P_1 \cdot x - R_B \cdot (x - a)$	
$x = a + b$		-875 Nm
$x \in (a + b, a + b + c)$	$-P_1 \cdot x - R_B \cdot (x - a) + P_2 \cdot (x - a - b)$	
$x = a + b + c$		0 Nm

Zadanie 9.1



maksymalny moment gnący występuje w punkcie C

$$M_{gmax} = |M_{gC}| = 875 \text{ Nm}$$

warunek wytrzymałościowy osi:

$$d \geq \sqrt[3]{\frac{32 \cdot M_{gmax}}{\pi \cdot k_{go}}} \cong 52 \text{ mm}$$

Zadanie 9.1

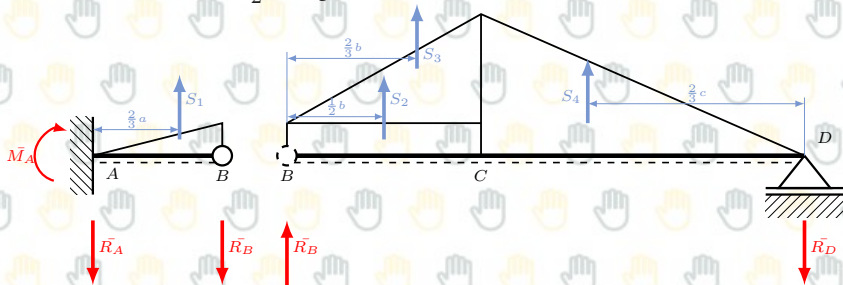
Maksymalną strzałkę ugięcia osi wyznaczono metodą analityczno-wykreslną. Dokonano dyskretyzacji obciążenia ciągłego:

$$S_1 = \frac{1}{2} \cdot M_g(a) \cdot a = 20 \text{ Nm}^2$$

$$S_2 = M_g(a) \cdot b = 60 \text{ Nm}^2$$

$$S_3 = \frac{1}{2} \cdot (M_g(a+b) - M_g(a)) \cdot b = 101,25 \text{ Nm}^2$$

$$S_4 = \frac{1}{2} \cdot M_g(a+b) \cdot c = 218,75 \text{ Nm}^2$$



Zadanie 9.1

Równania równowagi dla fikcyjnej belki:

$$\sum M_D : \bar{R}_B \cdot (b + c) - S_2 \cdot \left(\frac{1}{2} \cdot b + c\right) - S_3 \cdot \left(\frac{1}{3} \cdot b + c\right) - S_4 \cdot \frac{2}{3} \cdot c = 0$$

$$\sum F_y : -\bar{R}_B + S_2 + S_3 + S_4 - \bar{R}_D = 0$$

$$\sum F_y : -\bar{R}_A + S_1 + \bar{R}_B = 0$$

$$\sum M_A : \bar{M}_A - \bar{R}_B \cdot a - S_1 \cdot \frac{2}{3} \cdot a = 0$$

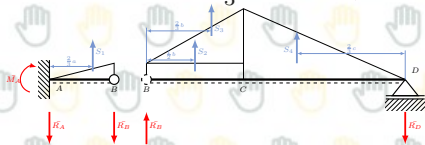
stąd

$$\bar{R}_B = \frac{S_2 \cdot (\frac{1}{2} \cdot b + c) + S_3 \cdot (\frac{1}{3} \cdot b + c) + S_4 \cdot \frac{2}{3} \cdot c}{b + c} = 215,83 \text{ Nm}^2$$

$$\bar{R}_D = -\bar{R}_B + S_2 + S_3 + S_4 = 164,17 \text{ Nm}^2$$

$$\bar{R}_A = S_1 + \bar{R}_B = 235,83 \text{ Nm}^2$$

$$\bar{M}_A = \bar{R}_B \cdot a + S_1 \cdot \frac{2}{3} \cdot a = 45,83 \text{ Nm}^3$$

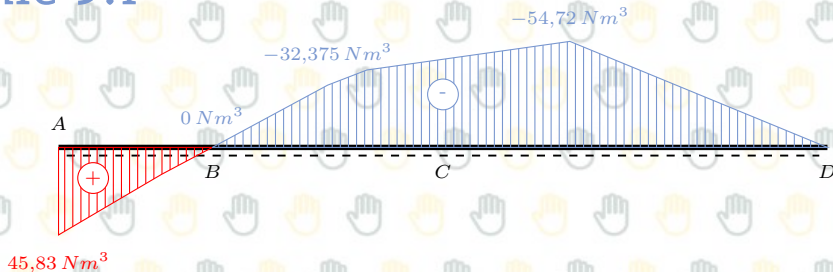


Zadanie 9.1

Momenty gnące dla fikcyjnej belki:

Przedział	Wzór	Wartość
$x = 0$		$45,83 \text{ Nm}^3$
$x \in (0, \frac{2}{3} \cdot a)$	$\bar{M}_A - \bar{R}_A \cdot x$	
$x = \frac{2}{3} \cdot a$		$14,39 \text{ Nm}$
$x \in (\frac{2}{3} \cdot a, a)$	$\bar{M}_A - \bar{R}_A \cdot x + S_1 \cdot (x - \frac{2}{3} \cdot a)$	
$x = a$		0 Nm^3
$x \in (a, a + \frac{1}{2} \cdot b)$	$-\bar{R}_B \cdot (x - a)$	
$x = a + \frac{1}{2} \cdot b$		$-32,375 \text{ Nm}^3$
$x \in (a + \frac{1}{2} \cdot b, a + \frac{2}{3} \cdot b)$	$-\bar{R}_B \cdot (x - a) + S_2 \cdot (x - a - \frac{1}{2} \cdot b)$	
$x = a + \frac{2}{3} \cdot b$		$-40,17 \text{ Nm}^3$
$x \in (a + \frac{2}{3} \cdot b, a + b + \frac{1}{3} \cdot c)$	$-\bar{R}_B \cdot (x - a) + S_2 \cdot (x - a - \frac{1}{2} \cdot b) + S_3 \cdot (x - a - \frac{2}{3} \cdot b)$	
$x = a + b + \frac{1}{3} \cdot c$		$-54,72 \text{ Nm}^3$
$x \in (a + b + \frac{1}{3} \cdot c, a + b + c)$	$-\bar{R}_B \cdot (x - a) + S_2 \cdot (x - a - \frac{1}{2} \cdot b) + S_3 \cdot (x - a - \frac{2}{3} \cdot b) + S_4 \cdot (x - a - b - \frac{1}{3} \cdot c)$	
$x = a + b + c$		0 Nm^3

Zadanie 9.1



Maksymalny moment gnący dla belki fikcyjnej wyznacza największe ugięcie belki ($M_{Amax} = 54,72 \text{ Nm}^3$, $E = 210 \text{ GPa}$):

$$y_A = \frac{M_{Amax}}{EJ} = \frac{64 \cdot M_{Amax}}{E \cdot \pi \cdot d^4} \leq f_{dop}$$

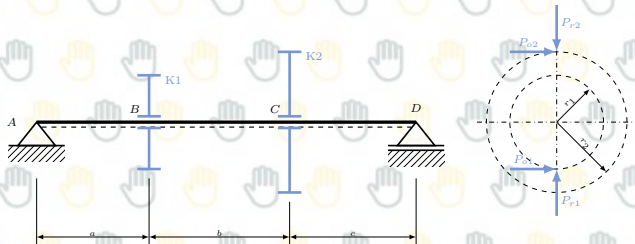
stąd

$$d \geq \sqrt[4]{\frac{64 \cdot M_{Amax}}{E \cdot \pi \cdot f_{dop}}} = 60,36 \text{ mm}$$

Przyjęto $d = 62 \text{ mm}$.

Zadanie 9.2

Obliczyć średnicę wału w miejscu osadzenia kół zębatach. Wał jest obciążony siłami międzyzębnymi przekładni zębatej walcowej o zębach prostych. Na koło 1 działają siły: obwodowa $P_{o1} = 11950 \text{ N}$ i promieniowa $P_{r1} = 4350 \text{ N}$, na koło 2 odpowiednio: $P_{o2} = 5370 \text{ N}$ i $P_{r2} = 1950 \text{ N}$. Obliczenia należy wykonać dla następujących wymiarów: $r_2 = 160 \text{ mm}$, $a = 80 \text{ mm}$, $b = 100 \text{ mm}$, $c = 90 \text{ mm}$. Wał wykonano ze stali C45, dla której: $k_{go} = 78 \text{ MPa}$, $k_{sj} = 95 \text{ MPa}$.



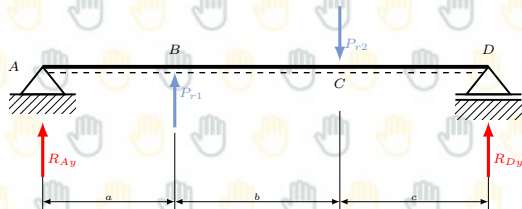
Zadanie 9.2

Równania równowagi:

$$\sum F_y : -R_{Ay} - P_{r1} + P_{r2} - R_{Dy} = 0$$
$$\sum M_A : -P_{r1} \cdot a + P_{r2} \cdot (a + b) - R_{Dy} \cdot (a + b + c) = 0$$

stąd

$$R_{Dy} = \frac{-P_{r1} \cdot a + P_{r2} \cdot (a + b)}{a + b + c} = 11,11 \text{ N}$$
$$R_{Ay} = -P_{r1} + P_{r2} - R_{Dy} = -2411,11 \text{ N}$$



Zadanie 9.2

Momenty gnące w punktach wynoszą:

Przedział	Wzór	Wartość
$x = 0$		0 Nm
$x \in (0, a)$	$R_{Ay} \cdot x$	
$x = a$		$-192,88 \text{ Nm}$
$x \in (a, a + b)$	$R_{Ay} \cdot x + P_{r1} \cdot (x - a)$	
$x = a + b$		$1,0 \text{ Nm}$
$x \in (a + b, a + b + c)$	$R_{Ay} \cdot x + P_{r1} \cdot (x - a) - P_{r2} \cdot (x - a - b)$	
$x = a + b + c$		0 Nm



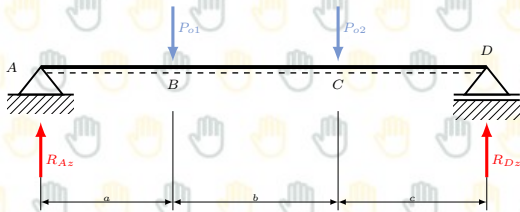
Zadanie 9.2

Równania równowagi:

$$\begin{aligned}\sum F_z : R_{Az} - P_{o1} - P_{o2} + R_{Dz} &= 0 \\ \sum M_A : P_{o1} \cdot a + P_{o2} \cdot (a + b) - R_{Dz} \cdot (a + b + c) &= 0\end{aligned}$$

stąd

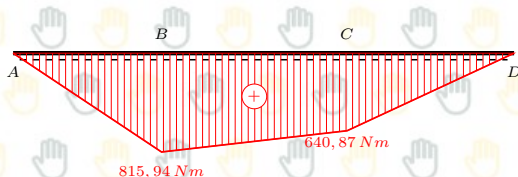
$$\begin{aligned}R_{Dz} &= \frac{P_{o1} \cdot a + P_{o2} \cdot (a + b)}{a + b + c} = 7120,74 \text{ N} \\ R_{Az} &= P_{o1} + P_{o2} - R_{Dz} = 10199,26 \text{ N}\end{aligned}$$



Zadanie 9.2

Momenty gnące w punktach wynoszą:

Przedział	Wzór	Wartość
$x = 0$		0 Nm
$x \in (0, a)$	$R_{Az} \cdot x$	
$x = a$		815,94 Nm
$x \in (a, a + b)$	$R_{Az} \cdot x - P_{o1} \cdot (x - a)$	
$x = a + b$		640,87 Nm
$x \in (a + b, a + b + c)$	$R_{Az} \cdot x - P_{o1} \cdot (x - a) - P_{o2} \cdot (x - a - b)$	
$x = a + b + c$		0 Nm

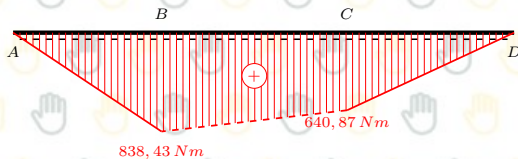


Zadanie 9.2

Momenty gące wypadkowe w punktach B i C wynoszą:

$$M_{gB} = \sqrt{M_{gyB}^2 + M_{gzB}^2} = 838,43 \text{ Nm}$$

$$M_{gC} = \sqrt{M_{gyC}^2 + M_{gzC}^2} = 640,87 \text{ Nm}$$

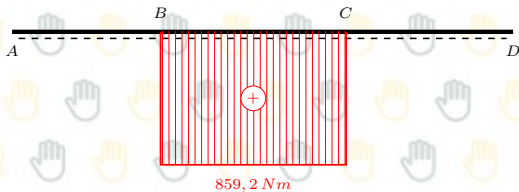


Uproszczono przebieg momentu gącego między punktami B i C.

Zadanie 9.2

Wał jest skręcany stałym momentem skręcającym na odcinku BC:

$$M_s = P_{o2} \cdot r_2 = 859,2 \text{ Nm}$$



Zadanie 9.2

Ponieważ $M_g < 2 \cdot M_s$

$$M_{zB} = \sqrt{\left(\frac{2 \cdot k_{sj}}{k_{go}} \cdot M_{gB}\right)^2 + M_s^2} = 2215,7 \text{ N}$$

$$M_{zC} = \sqrt{\left(\frac{2 \cdot k_{sj}}{k_{go}} \cdot M_{gC}\right)^2 + M_s^2} = 1781,91 \text{ N}$$

Średnica wału w punktach B i C wynosi:

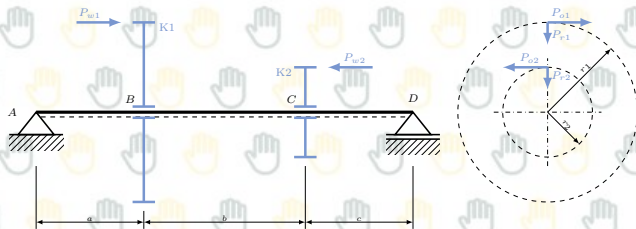
$$d_B \geq \sqrt[3]{\frac{16 \cdot M_{zB}}{\pi \cdot k_{sj}}} = 49,16 \text{ mm}$$

$$d_C \geq \sqrt[3]{\frac{16 \cdot M_{zC}}{\pi \cdot k_{sj}}} = 45,71 \text{ mm}$$

Przyjęto: $d_B = 50 \text{ mm}$, $d_C = 46 \text{ mm}$

Zadanie 9.3

Na wale dwupodporowym osadzono dwa koła zębate o zębach śrubowych i promieniach tocznych $r_1 = 155 \text{ mm}$, $r_2 = 62,5 \text{ mm}$. Na koło 1 działają siły: obwodowa $P_{o1} = 1805 \text{ N}$, promieniowa $P_{r1} = 679 \text{ N}$ i wzdłużna $P_{w1} = 484 \text{ N}$, natomiast na koło 2 odpowiednio: $P_{o2} = 4480 \text{ N}$, $P_{r2} = 1610 \text{ N}$ i $P_{w2} = 790 \text{ N}$. Określić teoretyczny (z warunku wytrzymałościowego) i rzeczywisty zarys wału wykonanego ze stali 15Cr2, dla której: $k_{go} = 80 \text{ MPa}$, $k_{sj} = 85 \text{ MPa}$. Dane wymiary: $a = 80 \text{ mm}$, $b = 120 \text{ mm}$, $c = 80 \text{ mm}$.



Zadanie 9.3

Równania równowagi w płaszczyźnie XY:

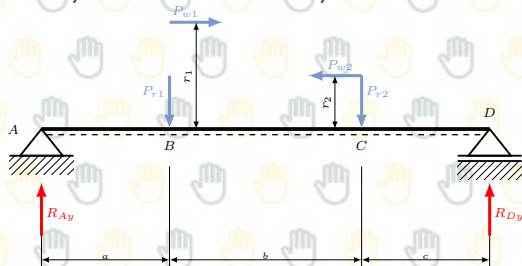
$$\sum F_y : R_{Ay} - P_{r1} - P_{r2} + R_{Dy} = 0$$

$$\sum M_A : r_1 \cdot P_{w1} + a \cdot P_{r1} + (a+b) \cdot P_{r2} - r_2 \cdot P_{w2} - (a+b+c) \cdot R_{Dy} = 0$$

stąd

$$R_{Dy} = \frac{r_1 \cdot P_{w1} + a \cdot P_{r1} + (a+b) \cdot P_{r2} - r_2 \cdot P_{w2}}{a+b+c} = 1435,59 \text{ N}$$

$$R_{Ay} = P_{r1} + P_{r2} - R_{Dy} = 853,41 \text{ N}$$



Zadanie 9.3

Momenty gnące w punktach B i C zmieniają się skokowo, stąd należy w każdym z punktów obliczać dwie wartości momentu M_{gL} i M_{gP} .

Przedział	Wzór	Wartość
$x = 0$		0 Nm
$x \in (0, a)$	$R_{Ay} \cdot x$	
$x_L = a$		$68,27 \text{ Nm}$
$x_P = a$		$143,29 \text{ Nm}$
$x \in (a, a + b)$	$R_{Ay} \cdot x + P_{w1} \cdot r_1 - P_{r1} \cdot (x - a)$	
$x_L = a + b$		$164,22 \text{ Nm}$
$x_P = a + b$		$114,85 \text{ Nm}$
$x \in (a + b, a + b + c)$	$R_{Ay} \cdot x + P_{w1} \cdot r_1 - P_{r1} \cdot (x - a) - P_{w2} \cdot r_2 - P_{r2} \cdot (x - a - b)$	
$x = a + b + c$		0 Nm



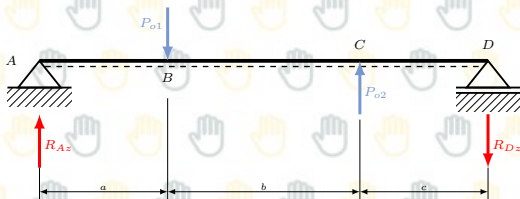
Zadanie 9.3

Równania równowagi w płaszczyźnie XZ:

$$\sum F_z : R_{Az} - P_{o1} + P_{o2} - R_{Dz} = 0$$
$$\sum M_A : a \cdot P_{o1} - (a + b) \cdot P_{o2} + (a + b + c) \cdot R_{Dz} = 0$$

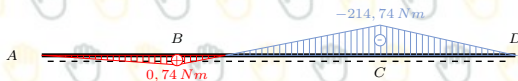
stąd

$$R_{Dz} = \frac{-a \cdot P_{o1} + (a + b) \cdot P_{o2}}{a + b + c} = 2684,29 \text{ N}$$
$$R_{Az} = P_{o1} - P_{o2} + R_{Dz} = 9,29 \text{ N}$$



Zadanie 9.3

Przedział	Wzór	Wartość
$x = 0$		0 Nm
$x \in (0, a)$	$R_{Az} \cdot x$	
$x = a$		$0,74 \text{ Nm}$
$x \in (a, a + b)$	$R_{Az} \cdot x - P_{o1} \cdot (x - a)$	
$x = a + b$		$-214,74 \text{ Nm}$
$x \in (a + b, a + b + c)$	$R_{Az} \cdot x - P_{o1} \cdot (x - a) + P_{o2} \cdot (x - a - b)$	
$x = a + b + c$		0 Nm



Zadanie 9.3

Momenty gące wypadkowe w punktach B i C wynoszą:

$$M_{gBL} = \sqrt{M_{gyBL}^2 + M_{gzB}^2} = 68,28 \text{ Nm}$$

$$M_{gBP} = \sqrt{M_{gyBP}^2 + M_{gzB}^2} = 143,29 \text{ Nm}$$

$$M_{gCL} = \sqrt{M_{gyCL}^2 + M_{gzC}^2} = 270,34 \text{ Nm}$$

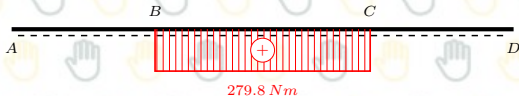
$$M_{gCP} = \sqrt{M_{gyCP}^2 + M_{gzC}^2} = 243,52 \text{ Nm}$$



Zadanie 9.3

Wał jest skręcany stałym momentem skręcającym na odcinku BC:

$$M_s = P_{o1} \cdot r_1 = 279,8 \text{ N} \cdot \text{m}$$



Zadanie 9.3

Ponieważ $M_g < 2 \cdot M_s$

$$M_{zBP} = \sqrt{\left(\frac{2 \cdot k_{sj}}{k_{go}} \cdot M_{gBP}\right)^2 + M_s^2} = 413,52 \text{ N}$$

$$M_{zCL} = \sqrt{\left(\frac{2 \cdot k_{sj}}{k_{go}} \cdot M_{gCL}\right)^2 + M_s^2} = 638,98 \text{ N}$$



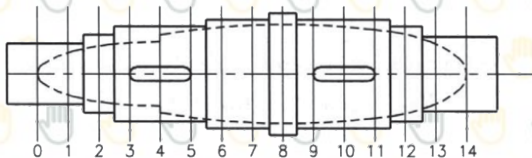
Zadanie 9.3

W punktach 1, 2, 3, 4L, 10P, 11, 12, 13 wał jest zginany, zatem

$$M_{zi} = M_{gi}$$
$$d_i \geq \sqrt[3]{\frac{32 \cdot M_{zi}}{\pi \cdot k_{go}}}$$

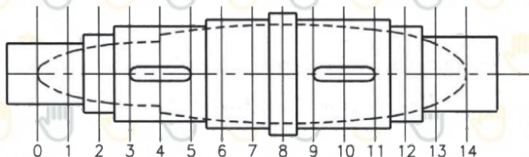
W punktach 4P, 5, 6, 7, 8, 9, 10L wał jest zginany i skręcany, zatem

$$M_{zi} = \sqrt{\left(\frac{2 \cdot k_{sj}}{k_{go}} \cdot M_{gi}\right)^2 + M_s^2}$$
$$d_i \geq \sqrt[3]{\frac{16 \cdot M_{zi}}{\pi \cdot k_{sj}}}$$



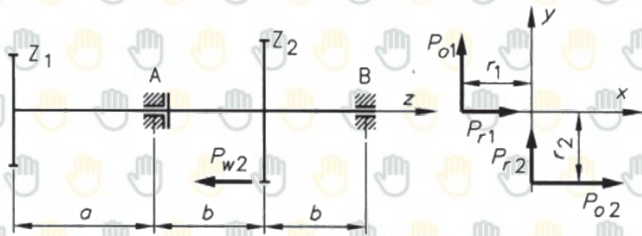
Zadanie 9.3

Nr przekroju	Współrzędna x	M_z	d_i	d
0	0	0	0	20
1	20	17,07	12,95	
2	40	34,14	16,32	25
3	60	51,21	18,68	
4L	80	68,28	20,56	30
4P	80	413,52	29,15	
5	100	425,62	29,43	
6	120	450,62	30	35
7	140	486,55	30,78	
8	160	531,19	31,69	40
9	180	582,53	32,68	
10L	200	638,98	33,7	35
10P	200	243,52	31,42	
11	220	182,64	28,54	
12	240	121,76	24,94	30
13	260	60,88	19,79	25
14	280	0	0	



Zadanie 9.6

Określić z warunku wytrzymałościowego teoretyczny zarys wału, oraz na jego podstawie ustalić rzeczywisty zarys wału. Na wale są osadzone dwa koła zębate. Na koło 1 działają siły: $P_{o1} = 5000 \text{ N}$ i $P_{r1} = 2800 \text{ N}$, na koło 2 o promieniu $r_2 = 0,05 \text{ m}$ działają siły: $P_{o2} = 8000 \text{ N}$, $P_{r2} = 3800 \text{ N}$ i $P_{w2} = 2400 \text{ N}$. Naprężenia dopuszczalne dla materiału wału (stal C45) wynoszą: $k_{go} = 78 \text{ MPa}$, $k_{sj} = 95 \text{ MPa}$. Długości wału: $a = 0,08 \text{ m}$, $b = 0,06 \text{ m}$.



Bibliografia



A. Dziurski, E. Mazanek, and L. Kania. *Przykłady obliczeń z podstaw konstrukcji maszyn: Łożyska, sprzęgła i hamulce, przekładnie mechaniczne. tom 2.* WNT, 2015. isbn: 9788393491360.



L. W. Kurmaz and O. L. Kurmaz. *Podstawy konstruowania węzłów i części maszyn: podręcznik konstruowania.* Samodzielna Sekcja "Wydawnictwo Politechniki Świętokrzyskiej", 2011. isbn: 9788388906343.



E. Mazanek, A. Dziurski, and L. Kania. *Przykłady obliczeń z podstaw konstrukcji maszyn: Połączenia, sprężyny, zawory, wały maszynowe. tom 1.* WNT, 2005. isbn: 9788320435528.



W. Starego. *Poradnik konstruktora przekładni pasowych.*

GRACIAS
ARIGATO
SHUKURIA
JUSPAXAR
DANKSCHEEN
TASHAKKUR ATU
YAQHANYELAY
SUKSAMA
EKHMET
GRACIE
MEHRBANI
PALDIES
YOU
BOLŽIN
MERCI
THANK
BI'YAN
SHUKRIA
TINGKI
SPASIBO
SNACHALMUYA
MURUM
CHALTU
WABEELA
MATTEKA
YUSUPGAGATAN
HUI
UNALCHEEN
NATUR
GUR
SPASIBO
DEHNAUJA
NEHACHALMUYA
ATTO
MAAKE
LEH
KOMAPSUMNIDA
SAWCO
HERASTAWNY
GAEJTHO
GOZAIMASHITA
EFCHARISTO
ACAYJE
FAKAAUE
BAKKA
TAVYAPUCH
MEDAWAGSE
SHOMMO
MAKETAU
HEBMONK HAR